
თავი IV. ფრაქტალური სისტემები შემთხვევითი სიგნალების ზომები

თავებში I, II გადმოცემულია ქეთოდები, რომლებიც საშუალებას გვაძლევს ამოვნებისათ წრფივ სტაციონარულ სისტემებში დეტერმინირებული სიგნალების გასვლის ამოცანები. ბოლო ნაბიჯს, რომელსაც ასრულებს წრფივი სისტემების თეორია, წარმოადგენს ამ ქეთოდების გადატანა სტატისტიკურ არეში.

დავუშვათ, რომ წრფივი სტაციონარული სისტემის შესასვლელზე არსებობს რხევა $x(t)$, რომელიც წარმოადგენს შემთხვევითი პროცესის $X(t)$ რაღაც რეალიზაციას. თუ ეს რეალიზაცია წინასწარ მითითებულია, მაშინ არავითარი ახალი ამოცანა არ დგება – $x(t)$ სიგნალს უნდა მივუდგეთ როგორც დეტერმინირებულ, თუმცა, შესაძლოა საემაოდ რთულად ასაღწერ ფუნქციას. ვიცით რა სისტემის მათემატიკური მოდელი, რომელიც განისაზღვრება, მაგალითად, გადაცემის სისტემული კოეფიციენტით $K(j\omega)$, პრინციპში ყოველთვის შესაძლებელია ვიპოვოთ გამოსასვლელი რეაქცია $y(t)$.

თუმცა სტატისტიკური თეორიის სპეციფიკა (სტატისტიკური მიღობა სისტემაში სიგნალების გარდაქმნისადმი) იმაში მდგრადი მარტინის, რომ გამოსასვლელი სიგნალის შესახებ ასეთი სრული ცნობები მიუწვდომელია – შესასვლელი სიგნალის დეტერმინირებული აღწერილობის ნაცვლად ჩვენ გვაქვს მხოლოდ შემთხვევითი პროცესის $X(t)$ გასაშუალებული სავარაუდო ალბათობების შესახებ ცნობები. ასეთი მახასიათუბლები შეიძლება აღმოჩნდეს ალბათობის ერთგანზომილებიანი და მრავალგანზომილებიანი სიმკრივეები, ასევე სხვადასხვა მომენტური ფუნქციები, უწინარეს ყოვლისა მათემატიკური მოლოდინი და კორელაციის ფუნქცია. **ჩვენი მიზანია** გამოვიყვლიოთ ის კავშირი $X(t)$ და $Y(t)$ პროცესების სტატისტიკურ მახასიათებლებს შორის, რომელიც შეიძლება ნაპოვნი იქნას სისტემის მატემატიკური მოდელის საფუძველზე.

თემა 11.1. წრფივ სტაციონარულ სისტემებზე შემთხვევითი სიგნალების ზემოქმედების ანალიზის საექტრული მეთოდი

თავდაპირველად შემოვიტანოთ შეზღუდვა – განვიხილავთ მხოლოდ შესასვლელ შემთხვევით პროცესებს $X(t)$, სტაციონარულებს ფართო გაგებით. როგორც ცნობილია, ეს ნიშნავს, რომ რეალიზაციების $x(t)$ საწყისი მნიშვნელობების მათემატიკური მოლოდინი დროის მიხედვით მუდმივია იმ

დროს, როცა კორელაციის ფუნქცია $R_x(t_1, t_2) = x(t_1)x(t_2) - \bar{x}^2$
დამოკიდებულია მხოლოდ სიდიდეზე $|t| = |t_1 - t_2|$ – აბსოლუტურ
ძვრაზე დროის დერმზე იმ წერტილებს შორის, რომლებმაც
ხდება მყისიერი მნიშვნელობების გაზომვა.

შემდგომში ყველგან ვივარაჟდებთ, რომ $\bar{x}(t) = 0$. ეს
ვარაუდი არ ზღუდავს განსჯების და დასკვნების ზოგადობას.
განსახილები წრედების წრფივობის თვისების წყალობით
შესასვლელი სიგნალის მუდმივი მდგრელის გამოსასვლელ
გამოძახილზე ზემოქმედების შესახებ ამოცანა შეიძლება
გადაწყვეტილი იყოს დამოუკიდებლად და, რაც მთავარია,
სტატისტიკური მეთოდების გამოყენების გარეშე.

11.1. გამოსასვლელი სიგნალის საშუალო მნიშვნელობა.

განვიხილოთ შესასვლელი სიგნალის $x(t)$ ცალკე აღებული
რეალიზაცია და წარმოვიდგინოთ ის ფურიეს ინტეგრალის
სახით ($\int_{-\infty}^{\infty} S_x(\omega) e^{j\omega t} d\omega$). წერტიზაციების საექტრალური
წარმოდგენის შესაძლებლობის შესახებ იხ. წიგნი “სიგნალების
თეორია”, § 7.1.:

$$x(t) = \frac{1}{2\pi} \int_{-\infty}^{\infty} S_x(\omega) e^{j\omega t} d\omega.$$

სისტემის გამოსასვლელი სიგნალი იქნება ნაპოვნი, თუ
ცნობილია მისი გადაცემის სიხშირული კოეფიციენტი $K(j\omega)$:

$$y(t) = \frac{1}{2\pi} \int_{-\infty}^{\infty} S_x(\omega) K(j\omega) e^{j\omega t} d\omega. \quad (4.1)$$

განცალკევებული რეალიზაციიდან შესასვლელი სიგნალე-
ბის სტატისტიკურ ანსამბლზე გადასვლისას უნდა ჩავთვალოთ,
რომ სპექტრალური სიმკრივე $S_x(\omega)$ შემთხვევითი ფუნქციაა,
ამასთან (იხ. “სიგნალების თეორია” თავი 7) $X(t)$ პროცესის
სტაციონარულობის შესახებ ვარაუდი სვამს პირობას:
საექტრალური სიმკრივის საშუალო მნიშვნელობა $\overline{S_x(\omega)} = 0$.

ამიტომ ვასრულებთ რა სტატისტიკურ გასაშუალოებას (4.1)
გამოსასვლების ორივე ნაწილში, (გასაშუალოება ხდება
რეალიზაციების ანსამბლის მიხედვით), გვაქვს

$$\overline{y(t)} = \frac{1}{2\pi} \int_{-\infty}^{\infty} \overline{S_x(\omega)} K(j\omega) e^{j\omega t} d\omega = 0. \quad (4.2)$$

11.1.2. კორელაციის ფუნქცია და სისტემის გამოსასვლელზე შემთხვევითი სიგნალის სიმძლავრის საექტრული სიმკრივე.

**თემა 11. ტრანს სტაციონარულ სისტემებზე შემთხვევითი
სიზნალების ზემოქმედება**

იმისათვის, რომ გამოვთვალოთ კორელაციის ფუნქცია $R_y(\tau)$, აუცილებელია, (4.1) სპექტრულ დაშლასთან ერთად ვიცოდეთ გამოსასვლელი სიგნალის მნიშვნელობა $t + \tau$ დროის მომენტში. ეს მნიშვნელობა შეიძლება მივიღოთ ზურის გარდაქმნის ცნობილი ოვისებების საფუძველზე:

$$y(t + \tau) = \frac{1}{2\pi} \int_{-\infty}^{\infty} S_x(\omega') K(j\omega') e^{j\omega'\tau} e^{j\omega't} d\omega'. \quad (4.3)$$

სიგნალის დროში ძერას პასუხობს სპექტრული სიმკერივის გამრავლება წარმოსახვით მაჩვენებლიან ექსპონენციალურ ფუნქციაზე $e^{j\omega'\tau}$.

მცირე (და არა პრინციპიალური) დეტალი, რომელიც განეცემულება გამოთვლების ტექნიკას: **ფუნქცია $y(t)$ ნამდვილია**, ამიტომ ფორმულა (4.3) არ შეიცვლება, თუ მის მარჯვენა ნაწილში გადავალოთ კომპლექსურად-შეუდლებულ სიდიდეებზე:

$$y(t + \tau) = \frac{1}{2\pi} \int_{-\infty}^{\infty} S_x^*(\omega') K^*(j\omega') e^{-j\omega'\tau} e^{-j\omega't} d\omega'. \quad (4.4)$$

გამოსასვლელი სიგნალის კორელაციის ფუნქციას ვიპოვთ, თუ გადავამრავლებთ სიგნალებს, განსაზღვრულს (4.1) და (4.4) ტოლობებით, ხოლო შემდეგ მოვახდენთ სტატისტიკურ გასაშუალოებას:

$$R_y(\tau) = \overline{y(t)y(t + \tau)} = \frac{1}{4\pi^2} \int \int_{-\infty}^{\infty} \overline{S_x(\omega)S_x^*(\omega')} K(j\omega) K^*(j\omega') e^{-j\omega'\tau} e^{j(\omega - \omega')t} d\omega d\omega'. \quad (4.5)$$

)

ერთი შეხედვით, ამ ფორმულის ანალიზი შეიძლება მოგვეჩენოს უიმედოდ რთულად. მაგრამ უნდა გავითვალისწინოთ, რომ განსახილველი შესასვლელი შემთხვევითი პროცესი სტაციონარულია, ამიტომ (“ელექტრული სიგნალები”, თავი 7 ფორმულა 7.5) მისი ცალკეული რეალიზაციების სპექტრალური სიმკერივეები დელტა-კორელირებულია, ე.ი.

$$S_x(\omega)S_x^*(\omega) = 2\pi W_x(\omega)\delta(\omega - \omega'), \quad (4.6)$$

სადაც W_x – სტაციონარული შემთხვევითი $X(t)$ პროცესის სპექტრული სიმკრივის სიმძლავრეა.

შესასვლელი სიგნალის სპექტრის ეს თავისებურება საშუალებას გვაძლევს გამოვარკვით (4.5) ფორმულის მარტივი აზრი

$$R_y(\tau) = \frac{1}{2\pi} \int_{-\infty}^{\infty} W_x(\omega) |K(j\omega)|^2 e^{-j\omega\tau} d\omega,$$

$$\text{ან, ტოლი უფლებით, } R_y(\tau) = \frac{1}{2\pi} \int_{-\infty}^{\infty} W_x(\omega) |K(j\omega)|^2 e^{j\omega\tau} d\omega. \quad (4.7)$$

(აქ გამოიყენება დელტა-ფუნქციის მაფილტრირებელი თვისება).

(4.7) ფორმულა, ფაქტიურად შეიცავს დასახული ამოცანის სრულ გადაწყვეტას კორელაციური თეორიის ჩარჩოებში: გამოსასვლელი შემთხვევით სიგნალის სიმკვრივის სპექტრი დაკავშირებულია შესასვლელი სიგნალის ანალოგიურ სპექტრთან თანაფარდობით

$$W_y(\omega) = W_x(\omega) |K(j\omega)|^2. \quad (4.8)$$

გამოყენებით ამოცანებში ხშირად გვაქვს საქმე ცალმხრივ $N_x(f)$ და $N_y(f)$ სპექტრებთან, რომლებიც განსაზღვრულია მხოლოდ ჰერცებში დადებით f სიხშირეებზე. ცხადია, რომ

$$N_y(f) = N_x(f) |K(j2\pi f)|^2, \quad (4.9)$$

ამიტომ გამოსასვლელი სიგნალის დისპერსია

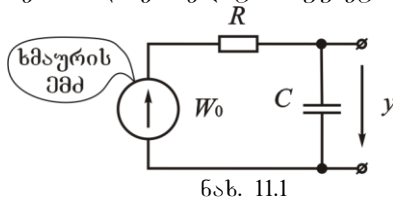
$$\sigma_y^2 = R_y(0) = \int_0^{\infty} N_y(f) |K(j2\pi f)|^2 df \quad (4.10)$$

წარმოადგენს შესასვლელი სიგნალის სიმძლავრის სპექტრის იმ წილების შეკრების შედეგს, რომლებიც გამრავლებულია სიხშირეზე დამოკიდებელ გადაცემის კოეფიციენტის მოდულის კვადრატზე, ე.ი. სიმძლავრის გადაცემის სიხშირულ კოეფიციენტზე.

აქ განხილული წრიდან კონკრეტული ამოცანების გადაწყვეტის ტექნიკა კარგად ცნობილია – ესაა ფურიეს ინტეგრალის გამოთვლის შესაძლო მეთოდები. ამიტომ ქვემოთ მოყვანილ მაგალითებში ყურადღება იქნება გადატანილი საქმის არა იმდენად მათემატიკურ მხარეზე, რამდენადაც პროცესების ფიზიკური თავისებურებების განსჯაზე.

მაგალითით

მაგალითი 11.1. 1-ლი რიგის დინამიკური სისტემა, რომლის პრინცი-
პიალური სქემა მოყვანილია მანიგეგრიეგებული RC წრედის სახით
(იხ. ნახ. 11.1), შესახვდების მხრიდან აღვ ზებულია ხმაურის ემა-
ნის წყაროთ, რომელსაც ყველა სის შრეზე გააჩნია მუდმივი სიმძლავრის
ხავებულური სიმკრიფი W_0 ($\text{გ}^2 \cdot \text{წ}$). განვხაზღვროთ გამოხასკვლელი
ძაბვის $y(t)$ დინამიკისა და კორელაციის ფუნქცია.



ამონება: მოცემული სქემითვის გამოვთვალოთ სიმძლავრის გა-
დაცემის კორელაციები:

$$|K(j\omega)|^2 = 1/[1 + \omega^2(RC)^2].$$

შემდეგ ფორმულით (4.7), $\tau = 0$ ჩატაროთ, განვხაზღვროთ ხმაურის
დინამიკისა გამოხასკვლელზე:

$$\sigma_y^2 = \frac{W_0}{\pi} \int_0^\infty \frac{d\omega}{1 + \omega^2(RC)^2} = \frac{W_0}{2RC}. \quad (4.11)$$

გამოხასკვლელი სიგნალის კორელაციას ფუნქცია

$$R_y(\tau) = \frac{W_0}{2\pi} \int_{-\infty}^{\infty} \frac{e^{i\omega\tau} d\omega}{1 + \omega^2(RC)^2}. \quad (4.12)$$

$$\Im \int_{-\infty}^{\infty} \frac{e^{i\omega\tau} d\omega}{1 + \omega^2(RC)^2} = 2 \int_{-\infty}^{\infty} \frac{\cos \omega\tau d\omega}{1 + \omega^2(RC)^2}.$$

უკანასკნელი ინტეგრალი წარმოადგენს ცხრილის ინტეგრალს [15],
ამიტომ მათ შემცირდება უკანასკნელი გამოყენებით, კლებულობით

$$R_y(\tau) = \frac{W_0}{2RC} \exp\left(-\frac{|\tau|}{RC}\right) \quad (4.13)$$

(კორელაციის ფუნქციის ნიშანი უცნდელია. ეს ნიშანები, რომ გამოხას-
კვლელი სიგნალი არ წარმოადგენს
კვანძის კორიოდულს იხ. ნახ. 11.2).

ამგარად, მათინტეგრებული წრედის
“თემორი ხმაურით” აღვ ზებით, გამოხასკვლელზე კლებულობით შემთხვევ-
გთ პროცესს გენერირებულ ტიპის კორელაციის ფუნქციით.

արեցծօտօս, ռոթ RC ֆիզյուս, ռոթյլուց սեղըցոյցնուած, աերշլցյած շերմածօդ “մովիյերովյած”: ոյ մշակաբանացյած և օգնածառած, ռոթյլուց բարձրացյած տյուր եմաշրն, ածեռլույթյուրած արաքրոցերնուրյածառած, մա մոխ ցամուսակալուց և օգնածառած ալմոնինցյած ցագլույցյածառած; մոխ յորշլածառած ոնքյուրյած այժեք ֆիզյուս մշամոյած քրոտուած ըօցո.

Ճագալուոտ 11.2. ոյտրու եմաշրնի եյմովիյյուցյած յրաւորիցյուրուած ըցնուանեցյած ցամակալոյցյուցյած նշ.

ՃԹԵՏԵՆԱ: ճացյածատ, ռոթ ոյտրու եմաշրնի յմծուս իշարու եոմելուած շրուս ցալոմերուց եպյիլուու Ն₀ (չ²/հ₀). ալաց նեյծ մցորդ ըեցցյած ըցնուանեցյած ցամակալոյցյուցյած մշակաբանացյած և մուշյլու եուէջմուս ցալացյուուս ցոյցուցոյեցից.

$$K(j2\pi\omega) = \frac{-K_{\sigma_{\beta}^{\beta}}}{1 + j2\pi(f - f_{\sigma_{\beta}^{\beta}})};$$

եոմելուացրուս ցամակալոյուս յոյցուցոյեցից

$$|K(j2\pi\omega)|^2 = \frac{K_{\sigma_{\beta}^{\beta}}^2}{1 + 4\pi^2(f - f_{\sigma_{\beta}^{\beta}})^2\tau_k^2}.$$

լուեցրես ցամուտցած եցյած (4.10) ցործյլուս մոեցցուս

$$\sigma_y^2 = N_0 K_{\sigma_{\beta}^{\beta}}^2 \int_0^{\infty} \frac{df}{1 + 4\pi^2(f - f_{\sigma_{\beta}^{\beta}})^2\tau_k^2}.$$

Մյմուցուցանուտ ցալած դ = f - f_{σβ} լա ճացյածատ, ռոթ ցամակալոյցյած ըցնուած յուրից օմքյին ցարցօսա, ռոթ ցամակալոյուս յոյցոյեցից դ = 0 լուս մշումույցյած հաստալուս եցլուցանած. մա մոխ

$$\sigma_y^2 = N_0 K_{\sigma_{\beta}^{\beta}}^2 \int_0^{\infty} \frac{d\eta}{1 + 4\pi^2\eta^2\tau_k^2} = \frac{N_0 K_{\sigma_{\beta}^{\beta}}^2}{2\tau_k}. \quad (4.14)$$

Եածուլուուծ, ցամուսակաբանացած եուցնածուս յորշյլածացուս ցյիցյուս

$$\begin{aligned} R_y(\tau) &= \frac{N_0 K_{\sigma_{\beta}^{\beta}}^2}{2\pi} \int_0^{\infty} \frac{\cos \omega \tau d\omega}{1 + (\omega - \omega_{\sigma_{\beta}^{\beta}})^2\tau_k^2} \approx \frac{N_0 K_{\sigma_{\beta}^{\beta}}^2}{2\pi} \int_{-\infty}^{\infty} \frac{\cos(\Omega + \omega_{\sigma_{\beta}^{\beta}})\tau d\Omega}{1 + \Omega^2\tau_k^2} = \\ &= \frac{N_0 K_{\sigma_{\beta}^{\beta}}^2}{2\pi} \left[\int_{-\infty}^{\infty} \frac{\cos \Omega \tau d\Omega}{1 + \Omega^2\tau_k^2} \right] \cos \omega_{\sigma_{\beta}^{\beta}}\tau = \end{aligned} \quad (4.15)$$

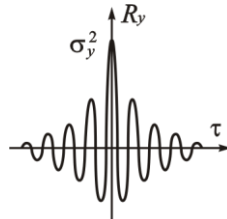
$$= \frac{N_0 K_{\sigma_{\beta}^{\beta}}^2}{2\pi} \exp\left(-\frac{|\tau|}{\tau_k}\right) \cos \omega_{\sigma_{\beta}^{\beta}}\tau$$

իանե, ռոթ օյ մուցյած յորշյլածացուս ցյիցյուս օյիք եաեց

$$R_y(\tau) = \sigma_y^2 \rho(\tau) \cos \omega_{\sigma_{\beta}^{\beta}}\tau \quad (4.16)$$

თემა 11. როგორ სტაციონარულ სისტემებზე შემთხვევითი სიზნალების ზემოქმედება

(იხ. ნახ. 11.3), როგორიც დამახასიათებელია კინეტოზოდოვანი შემთხვევითი პროცესისათვის, რამდენადაც მოძვლები $\rho(\tau) = \exp(-|\tau|/\tau_0)$



ნახ. 11.3

წარმოადგენს ნედ ფუნქციას მაღალსი შერეულ შემაცვებელთან შედარებით.

(ანუ კორელაციის ფუნქციის მნიშვნელობა ნელში ტოლია გამოსახვლები სიგნალის დისპერსიის).

კინეტოზოდოვანი გამაძლიერებლის გამოსახვლებზე შემთხვევითი სიგნალის ნებისმიერი რეალიზაცია წარმოადგენს კვანიკარმონიულ

რჩებას შემთხვევითი მოძვლებითა და ყისიერი

სიხშირით. საშეადოდ შევხების სიხშირე ტოლია რჩევითი სისტემის რეზონანსული სიხშირისა. გამოსახვლები სიგნალის ასეთი თვისება ადგილად აისხება, თუ შეენიშნავთ, რომ ეს სიგნალი წარმოადგენს მრავალრიცხოვანი კლემბერული გამომახილების ჯამშის შედეგს, როგორთაგან თოთოეული სისტემის იმპულსური მახასიათებლის პროპრიცესულია (დუაქცლის ინტეგრალის პრინციპი).

იმისათვის, რომ წარმოადგენა გაჭრიდებს იმ სიდიდეების რიგზე, როგორთანაც საჭმე აქვს ხტატისტიკურ რადიო-გემისაპა (იხ. შემთხვევითი სიგნალის ტიპიური რეალიზაცია რეზონანსული გამაძლიერებლის გამოსახვლებზე ნახ. 11.4), შევაფასოთ ხმაურის დისპერსია რეზონანსული გამაძლებლის გამოსახლებზე შემდგენ საწყისი მონაცემების დროს:

$$N_0 = 10^{16} \text{ (გ/ჰ��), } K_{რე} = 30, \quad f_{რე} = 1.59 \times 10^7 \text{ ჰ��,}$$

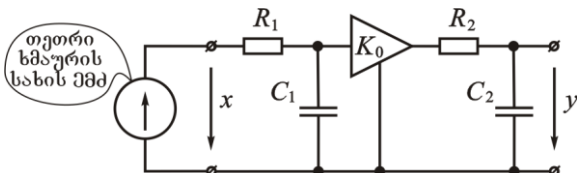
$$Q_{აქ} = 60.$$

კონტურის დროის მუხმიჯა

$$\text{ნახ. 11.4} \quad \tau_k = 2Q_{აქ} / \omega_{რე} = 1.2 \text{ გვრ, ამიტომ (4.14)}$$

ფორმულის საფუძველზე დისპერსია $\sigma_y^2 = 10^{-16} \cdot 900 / (2.4 \cdot 10^{-6}) = 3.75 \cdot 10^{-8} \text{ გ}^2$, ხმლო ხმაურის კვანტული ძაბვა, როგორიც დისპერსიიდან კვადრატული ფუნქციის ტოლია, შეადგენს 194 გვპ.

მაგალითი 11.3. წრედი შედგენილია ორი RC რგოლით, როგორთა შორის ჩართულია იდეალური გამაძლიერებელი გაძლიერების კოეფი-



ცოგის K_0 .

წრედის შესახლებზე ჩართულია თეორიული ხმაურის გების წყარო ცნობილი

նախ. 11.5

եօթելուցրու եայ-

ըթալուցրու եօթելուցրու W_0 ($\Omega^2 \cdot \text{Վ}$). քամուցուցալուտ քամուեաեցալուցրու ժածցու յամուցուցալուցրու ամացու յամուցուցալուցրու.

ՃԹԵԵՑՑ: եօթելուցրու քամուցուցալուցրու յամուցուցալուցրու

$$|K(j\omega)|^2 = \frac{K_0^2}{(1 + \omega^2 \tau_1^2)(1 + \omega^2 \tau_2^2)}$$

(4.7)-ու պյեսամուեալ քամուեաեցալուցրու ժածցու յամուցուցալուցրու պյենիցրու

$$R_y(\tau) = \frac{W_0 K_0^2}{2\pi} \int_{-\infty}^{\infty} \frac{\exp(j\omega\tau) d\omega}{(1 + \omega^2 \tau_1^2)(1 + \omega^2 \tau_2^2)} \quad (4.17)$$

մունանյեթունուցրու զուսարցելուտ եանուածուուտ, ոմացց զնուեա զամյուրյցեատ, բաց մույզանուցրու ոյն Լ-յը տաշնու ՌԿ վրյցուս օմէյցանուրու մաեաեատյցելուս տեացունուեա սինյացրալյցնա պյենիցրու (4.17)-իւ այցե ուտես մարքուզու նուռուցրու յամուցուցալուցրու $\omega_{1,2} = \pm j / \tau_1$, $\omega_{3,4} = \pm j / \tau_2$.

քամուցուցալուտ պյենիցրու $R_y(\tau)$ բարցա $\tau > 0$, սինյացրու յամուցրուս պյակցուու նյեա եայցարեսօնարցյցնա (ու. նախ. 11.6). սինյացրալյցնա պյենիցրուս եանուածուուտ այցե վյարցուունու պյենիցրու

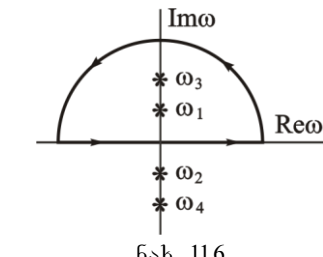
$$\left. \text{res} \right|_{\omega=\omega_1} = \left. \frac{\exp(j\omega\tau) d\omega}{d \frac{(1 + \omega^2 \tau_1^2)(1 + \omega^2 \tau_2^2)}{d\omega}} \right|_{\omega=\omega_1} = \frac{\tau_1 \exp(-\tau / \tau_1)}{2j(\tau_1^2 - \tau_2^2)}$$

տեացուցայցար ձույլուցրու եանուեա ամացուցայցը բայց նուածուուտ $\omega = \omega_3$ վյարցուունու, բայց մայցուուտ սինյացրու յամուցրուս մայցուուտ.

$$\left. \text{res} \right|_{\omega=\omega_3} = \frac{-\tau_2 \exp(-\tau / \tau_2)}{2j(\tau_1^2 - \tau_2^2)}.$$

այցրան, յամուս տյուրյցմուս քամուցրու գամուցրու գամուցրու դուրս

$$R_y(\tau) = \frac{W_0 K_0^2}{2(\tau_1^2 - \tau_2^2)} (\tau_1 e^{-\tau/\tau_1} - \tau_2 e^{-\tau/\tau_2}). \quad (4.18)$$



նախ. 11.6

բարցա $\tau < 0$ յամուցրուս պյենիցրու մոսւցրու սմացց յամուցրու ընյունուսա պյենիցրուս - τ -ու. յի գամումանարցու յամուցրուս լույնու պյենիցրուս տյուեցեցուան, տյուեցա նյուցու նյուկլյու քաֆասենյուցրու ոյնաս յամուցրուս գամուցրու. (ցաեսուցու, բարցա $\tau < 0$ սինյացրու յամուցրուս բացալուս ցամացու ցնա նազաքթու շասարցան դուրս բացու յամուցրուս յամացայիւնու ա և սումուրու կըսա նաեցարեսօնարցյցնա).

**თავა 11. ტრიოზ სტაციონარულ სისტემებზე შემთხვევითი
სიგნალების ზემოქმედება**

$$\text{ამრიცად, } R_y(\tau) = \frac{W_0 K_0^2}{2(\tau_1^2 - \tau_2^2)} (\tau_1 e^{-|\tau|/\tau_1} - \tau_2 e^{-|\tau|/\tau_2}). \quad (4.19)$$

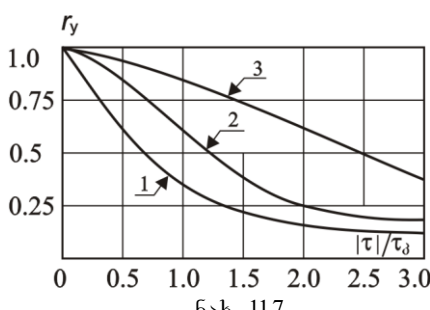
გამოსახვლელი სიგნალის დისპერსია

$$R_y^2 = R_y(0) = \frac{W_0 K_0^2}{2(\tau_1 + \tau_2)}, \quad (4.20)$$

ამიტომ გამოსახვლელი შემთხვევითი პროცესის ნორმირებული ძორებლაციის ვარიაცია

$$r_y(\tau) = \frac{1}{\tau_1 - \tau_2} (\tau_1 e^{-|\tau|/\tau_1} - \tau_2 e^{-|\tau|/\tau_2}). \quad (4.21)$$

ნახ. 11.7 გამოსახულია (4.21) ფორმულით გამოთვლილი შედეგები თანაფარდობის ორი განსხვავებული შემთხვევისას.

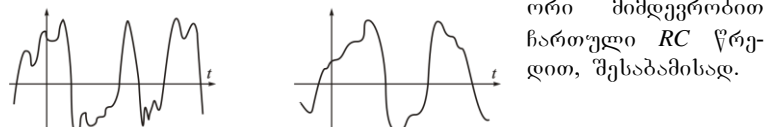


ნახ. 11.7

ორი RC წრედისაგან შემდგარი სისტემის გამოსახვლელზე შემთხვევითი პროცესის ნორმირებული ძორებლაციის ფუნქცია: 1 – როცა $\tau_2 = \tau_1/2$; 2 – როცა $\tau_1 = \tau_2$

გამოსახვლელი შემთხვევითი პროცესის დიფერენცირებადობას (იხ. „სიგნალების თეორია“ თავი 7). ფიზიკურად დიფერენცირებადობა აღნიშვნას სიგნალის რეალზაციების სიგლუვეს, რომლებიც გადიან კასკადურად შეერთებულ RC წრედს.

* ნახ. 11.8-ზე ნაჩვენებია თეორიული სტაური, გარდაქმნილი ერთი და



ნახ. 11.8